

<https://doi.org/10.24867/JPE-1993-10-217>

ORIGINALNI NAUČNI RAD

B. A. ТАРАНЕНКО\*

ИССЛЕДОВАНИЕ ДИНАМИЧЕСКИХ ХАРАКТЕРИСТИК ТЕХНОЛОГИЧЕСКИХ СИСТЕМ  
ОБРАБОТКИ ПРИ УПРАВЛЕНИИ УПРУГОДЕФОРМИРОВАНИЕМ СОСТОЯНИЕМ  
НЕЖЕСТНЫХ ВАЛОВ

## 1.0 УВОД

При отсутствии достаточно полной и точной информации об объекте управления, идеализация динамических свойств элементов САУ, ее расчетные характеристики могут существенно отличаться от реальных, а выбранные при проектировании параметры (настройки) регуляторов не обеспечат заданного качества управления и даже устойчивости системы. Кроме того, для рассматриваемых систем характерны широкие пределы вариаций параметров объекта управлений. Причем в технологических системах, содержащих нежесткую за отовку, параметры могут значительно изменяться в течении цикла обработки одной детали. Указанные обстоятельства осложняют задачу обеспечения устойчивости САУ и требуют особенно тщательного подхода к вопросам выбора ее структуры и синтеза корректирующих устройств.

Разработка математической модели объекта управления в динамике, адекватной объекту - оригиналу, является необходимой предпосылкой для последующего обоснованного подхода к решению задач анализа устойчивости по заданным показателям качества управления в переходных режимах. Причем в подобных системах показатели качества управления выходной координатой - упругими деформациями технологической системы в динамике непосредственно характеризуют погрешности формы детали, обусловленные действием быстроизменяющихся возмущений типа изменения припуска на обработку, вариаций физико-механических свойств обрабатываемого материала и т.п.

\* Др. Виктор Тараненко, дипл. инг. редовни професор Севастополјски приборостроитељни институт, Севастополь (СНГ)

Изложенное делает целесообразным создание более совершенных моделей объекта управления - технологической системы синхронизированной деталью, проведение оценки обработки с учетом динамических свойств и характеристик технологической системы.

## 2.0 ПРИНЦИП ПОСТРОЕНИЯ ДИНАМИЧЕСКИХ МОДЕЛЕЙ ТЕХНОЛОГИЧЕСКИХ СИСТЕМ ОБРАБОТКИ

На основании рассмотрения физической модели, сечения, срезаемого слоя при продольном течении с учетом внутренних связей в объекте и особенностей резания "по следу", когда компоненты срезаемого слоя металла в текущий момент времени определяются как положением режущей кромки резца в текущий момент времени  $t$ , так и координатами режущей кромки в момент времени  $t-\tau$  предыдущего оборота заготовки, получена система уравнений в операторной форме, описывающих объект управления - технологическую систему токарной обработки в виде [1]

$$\begin{aligned} P_\xi(s) &= m_\xi(s)a(s) + n_\xi(s)b(s) + q_\xi(s)C(s), \\ a(s) &= \frac{1}{s}(1-e^{-st})S_{ap}(s) - (1-e^{-st})Y_x(s) - K_\varphi(1-e^{-st})Y_y(s). \\ b(s) &= \frac{1}{st}(1-e^{-st})b_1(s) - Y_y(s), \\ c(s) &= \frac{1}{st}(1-e^{-st})c_1(s). \\ Y_\xi(s) &= K_\xi(s)P_\xi(s) + \Delta Y_{f_\xi}(s). \end{aligned} \quad (1)$$

где  $P_\xi(s)$  - составляющие сил резания;  $m_\xi(s) = (\partial P_\xi / \partial a)_0$ ,  $n_\xi(s) = (\partial P_\xi / \partial b)_0$ ,  $q_\xi(s) = (\partial P_\xi / \partial C)_0$  - коэффициенты для составляющих силы резания по приращению, соответственно, приведенной толщины среза  $\Delta(s)$  (здесь и в дальнейшем знак приращений  $\Delta$  для упрощения опущен), глубины резания  $b(s)$  и твердости обрабатываемого материала  $C(s)$ ;  $\xi = \{x, y, z\}$ ;  $K_\varphi = ct\varphi$ . Дополнительные силовые воздействия, формируемые на технологическую систему с целью управления упруго-деформированным состоянием детали, приводят, в общем случае к появлению дополнительных деформаций упругой системы по каждой из координат, что учитывается введением в последнее соотношение системы управлений (1) второго слагаемого -  $\Delta Y_{f_\xi}(s)$ , конкретный вид взаимосвязей которых определяется различными силовыми управляющими воздействиями.

Учитывая, что время запаздывания  $\tau = 1/n_{шп}$  обычно на порядок больше постоянных времени упругой системы и процесса резания, станок устойчив, можно положить передаточные функции  $m_\xi(s)$ ,  $n_\xi(s)$  и  $K_\xi(s)$  в системе уравнений (1) равными, соответствующим коэффициентам передачи:

$$m_\xi = \left( \frac{\partial P_\xi}{\partial a} \right)_0, \quad n_\xi = \left( \frac{\partial P_\xi}{\partial b} \right)_0, \quad K_\xi = \left( \frac{\partial Y_\xi}{\partial P_\xi} \right)_0, \quad \xi \in \{X, Y, Z\}. \quad (2)$$

Таким образом, уравнения (1) с учетом (2) описывают динамические свойства технологической системы при продольном точении. Процесс поперечного точения может рассматриваться как частный случай продольного, и описанная обобщенная математическая модель может использоваться и при его алгоритмизации. Система уравнений при этом значительно упрощается благодаря тому, что при поперечном точении отсутствует осевая составляющая силы резания, а подача направлена по координате  $y$ .

Эквивалентные (суммарные) упругие перемещения технологической системы при обработке нежестких деталей целесообразно представить в виде двух слагаемых

$$Y_\xi = Y_{\xi_c} + Y_{\xi_g} \quad (3)$$

где  $Y_{\xi_c}$  и  $Y_{\xi_g}$  - соответственно упругие перемещения станка-приспособления-инструмента и детали по каждой координате,  $\xi \in \{x, y, z\}$ . Первое слагаемое в этом выражении для рассматриваемых технологических систем, как правило, на порядок меньше <sup>можно</sup> второго и им можно пренебречь.

### 3.0 ОСОБЕННОСТИ ПОСТРОЕНИЯ ДИНАМИЧЕСКИХ МОДЕЛЕЙ ПРИ ОБРАБОТКЕ НЕЖЕСТИХ ВАЛОВ

Характерные особенности процесса обработки нежестких деталей учитываются введением соответствующих уравнений связи, отражающих в имосвязь дополнительных упругих деформаций  $\Delta Y_\xi$  в последнем уравнении системы (1) с силовыми управляемыми воздействиями. Упругие деформации технологической системы в радиальном направлении  $y$  в соответствии с уравнениями про-

гибов в установившихся режимах без учета замкнутости объекта управления рассматриваются как детерминированная нелинейная функция

$$Y_y = f(L, d, EI, P_z, P_y, P_{xI}, e, P_{gon,i}, M_i, M_{kp}, X). \quad (4)$$

Учитывая, что при реальных значениях величины продольной подачи скорость изменения координаты  $X$  относительно невелика, при анализе переходных процессов "в малом" можно пренебречь изменением координаты  $X$  в функции времени. Тогда уравнение (4) для приращений в операторной форме имеет вид

$$\begin{aligned} Y_y(s) = & K_{xy}P_x(s) + K_{yy}P_y(s) + K_{zy}P_z(s) + K_{PxI}P_{xI}(s) + K_e e(s) + \\ & + K_{P_{gon,i}}P_{gon,i}(s) + K_{Mi}M_i(s) + K_{M_{kp}}M_{kp}(s). \end{aligned} \quad (5)$$

где двойные индексы при коэффициентах  $K$  означают, что коэффициенты  $K_{xy}$ ,  $K_{zy}$  указывают влияние приращения составляющих  $P_x$ ,  $P_z$  на приращения упругих деформаций по координате  $y$ ,  $K_e = K'_e \cdot P_{xI_0}$ . Коэффициенты передачи линеаризованных уравнений определяются как частные производные от функций прогиба по соответствующей переменной. Так, например, для технологической системы обработки при действии растягивающей силы  $P_{xI}$ , создающей упругодеформированное состояние, коэффициенты передачи получены в виде:

$$K_{yy} = (\partial Y_y / \partial P_y)_0 = L^3 [1 - \cos(2\pi x_0 / L)]^2 / 2\pi^2 [4\pi^2 EI + P_{xI_0} L^2], \quad (6)$$

$$K_{PxI} = (\partial Y_y / \partial P_{xI})_0 = -Y_{y0} L^2 / (4\pi^2 EI + P_{xI_0} L^2). \quad (7)$$

где  $P_{xI_0}$  и  $Y_{y0}$  - значения растягивающей силы и упругой деформации детали по оси  $y$  в точке линеаризации (значений переменных относительно которых даются приращения переменных). В рассматриваемом частном случае остальные коэффициенты, входящие в соотношение (5), равны нулю.

Упругие деформации по координате  $Z$  при обработке нежестких деталей малого диаметра оказывают влияние на изменение глубины резания и после линеаризации записываются в операторном виде

$$b_z(s) = K_{b_z} Y_z(s) \quad (8)$$

где  $K_{b_z}$  - коэффициент передачи, устанавливающий взаимосвязь

между приращением глубины резания  $\beta$  и составляющей  $P_z$  сил резания.

Динамические свойства рассматриваемых технологических систем обработки нежестких упругодеформированных деталей описываются системой уравнений [2]

$$\begin{aligned}
 P_\xi(s) &= m_\xi a(s) + n_\xi b(s) + q_\xi C(s), \\
 a(s) &= \frac{1}{s} (1 - e^{-st}) S_{np}(s) - (1 - e^{-st}) Y_x(s) - K_{\varphi} (1 - e^{-st}) Y_y(s). \\
 b(s) &= \frac{1}{st} (1 - e^{-st}) b_1(s) - Y_y(s) - K_{b_2} Y_z(s), \\
 Y_x(s) &= K_x P_x(s), \quad Y_z = K_z P_z(s), \\
 Y_y(s) &= K_{xy} P_x(s) + K_{yy} P_y(s) + K_{zy} P_z(s) + K_{PxI} P_{xI}(s) + K_c c(s) + \\
 &\quad + K_{P_{gon,i}} P_{gon,i}(s) + K_{Mi} M_i(s) + K_{Mkp} M_{kp}(s), \\
 c(s) &= \frac{1}{st} (1 - e^{-st}) c_I(s).
 \end{aligned} \tag{9}$$

Обобщенная структурная схема, соответствующая системе уравнений (9), приведена на рис. 1. На этой схеме для упрощения не учтен канал воздействия, отражающий приращение твердости  $C(s)$  обрабатываемого материала. Учет влияния составляющей силы  $P_z$  на глубину резания приводит к появлению в структуре объекта дополнительного контура отрицательной обратной связи. Следует отметить, что в случае растачивания и внутреннего шлифования связь через  $K_{\beta_x}$  превращается в положительную - приращение упругих деформаций по координате ведет к увеличению глубины резания, что может служить дополнительной причиной неустойчивости технологической системы.

В результате теоретических и экспериментальных исследований установлено, что коэффициенты передачи объекта управления изменяются в 20-50 раз, а его постоянные времени в 10 раз и более, что требует применения для управления адаптивных систем управления. При использовании в качестве регулирующего воздействия дополнительных внешних сил, изменяющих упругодеформированное состояние детали, за выходную координату принимают приращение упругих деформаций  $Y_y$  в радиальном направлении, передаточная функция технологической системы для обобщенной модели при точении имеет вид

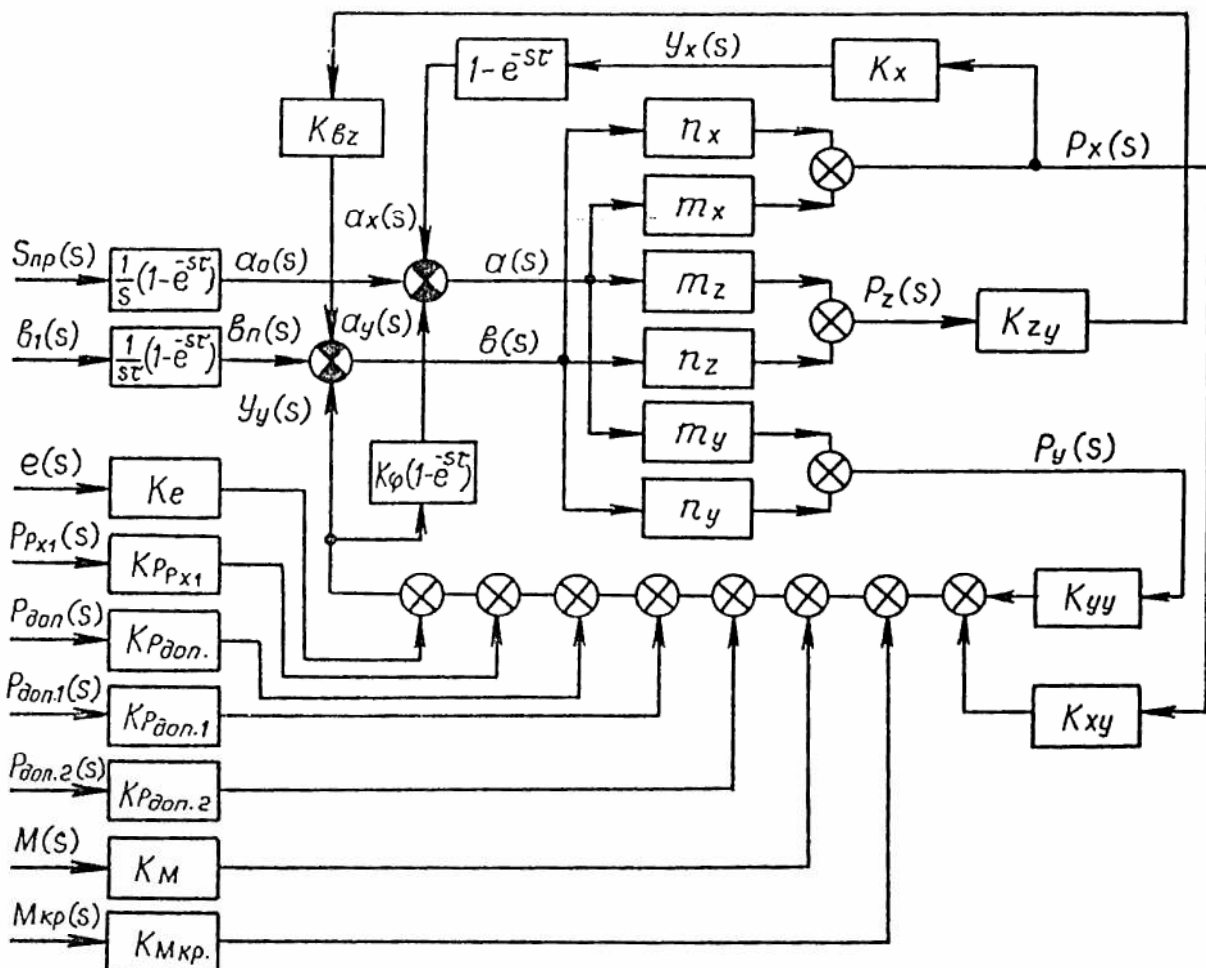


Рис. 1. Обобщенная структурная схема технологической системы при управлении упругодеформированным состоянием нежестких заготовок

$$W_{IT}(s) = \frac{Y_y(s)}{P_{xI}(s)} = \frac{[1 + A_1(1 - e^{-st})]}{[1 + B_1(1 - e^{-st})]} K_{OT}, \quad (10)$$

$$K_{OT} = K_{PxI} K_o, \quad K_o = 1 / (1 + K_{xy} n_x + K_{bz} K_z n_z + K_{yy} n_y) \quad (11)$$

$$B_{IT} = K_o \{ m_x K_x + K_\varphi (m_y K_y + K_{xy} m_x + K_{xy} n_x K_y m_y) - K_{bz} K_z [m_z n_z K_x - n_z m_x K_x - K_\varphi (n_z K_y m_y + m_z)] - K_{yy} [m_y n_x K_x - n_y m_x K_x - K_\varphi (n_y m_y K_y + m_y)] \},$$

$$A_{IT} = m_x K_x + m_y K_y K_\varphi.$$

При известных значениях коэффициентов, входящих в (10), (11), коэффициенты  $A_{IT}$  и  $B_{IT}$  могут быть существенно упрощены и из обобщенной модели (10) технологической системы продольного точения упругодеформированных нежестких валов получен ряд частных моделей значительно облегчающих инженерные расчеты и анализ.

Аналогично на основе обобщенной структурной схемы (рис. 1) и системы уравнений (9) получены частные динамические модели технологических систем для других регулирующих воздействий, отличающихся от (11) только значениями коэффициента  $K_{OT}$  передачи объекта - вместо коэффициента  $K_{PxI}$  в выражении (11), в этом случае в качестве сомножителей входят коэффициенты передачи по соответствующему воздействию:  $K_{P_{\text{доп.}i}}$ ,  $K_{M_i}$ .

На основании анализа физической модели и схемы формирования сечения среза при шлифовании упругодеформированных нежестких валов с продольными подачами при регулирующем воздействии в виде дополнительных силовых факторов разработана обобщенная математическая модель процесса и получена передаточная функция технологической системы для наружного шлифования нежестких упругодеформированных валов для выходной переменной в виде упругой деформации  $U_y$  системы.

Из анализа полученных результатов следует, что математическую модель технологической системы при шлифовании можно рассматривать как частный случай модели технологической системы токарной обработки [1, 2].

С достаточной для практических инженерных расчетов степенью точности аппроксимирующее выражение для передаточных функций целесообразно строить при удержании одного или двух членов разложения показательной функции  $e^{-st}$  в ряд Паде, при

Режимы резания, расчетные и экспериментальные значения постоянных времени переходных процессов при управляющем воздействии

Таблица 1.

№ пп	$n_{шп}$	$\tau$	$\varphi$	$V_p$	$B$	$S_{пр}$	$Y_o$	$P_{Y_o}$	$T_{1Э}$	$T_{1Р}$	$\Delta T$
	об/мин	с	град.	м/с	мм	мм/об.	мкм	Н	с	с	%
I	250	0,24	45	0,065	0,5	0,14	36	80	0,2	0,18	10
2	250	0,24	90	0,065	0,5	0,2	21	40	0,14	0,12	14
3	250	0,24	90	0,065	0,7	0,2	23	49	0,16	0,15	6
4	630	0,095	45	0,165	0,4	0,1	24	52	0,095	0,09	5
5	630	0,095	90	0,165	0,5	0,14	19	32	0,07	0,075	-7
6	920	0,065	90	0,24	0,2	0,25	22	48	0,052	0,057	-9
7	920	0,065	90	0,24	0,5	0,25	27	65	0,063	0,06	5
8	920	0,065	90	0,24	0,4	0,25	30	56	0,063	0,07	-II
9	1260	0,047	45	0,33	0,4	0,2	45	88	0,039	0,037	5
10	1260	0,047	90	0,33	0,5	0,2	22	45	0,052	0,046	II
II	1260	0,047	90	0,33	0,3	0,2	20	38	0,043	0,038	II
I2	1680	0,036	45	0,44	0,2	0,148	18	24	0,032	0,03	6
I3	1680	0,036	90	0,44	0,5	0,148	21	30	0,035	0,029	I7
I4	1680	0,036	90	0,44	0,7	0,148	25	35	0,044	0,04	9

Режимы резания, расчетные и экспериментальные значения постоянных времени переходных процессов при управляющем воздействии

Таблица 2.

№ пп	$n_{шп}$	$\tau$	$\varphi$	$V_p$	$B$	$S_{пр}$	$Y_o$	$P_{Y_o}$	$T_{1Э}$	$T_{1Р}$	$\Delta T$
	об/мин	с	град.	м/с	мм	мм/об.	мкм	Н	с	с	%
I	900	0,066	90	I,18	2,5	0,2	16	110	0,06	0,052	I3
2	1800	0,033	90	I,88	0,75	0,2	II	50	0,02	0,021	-5
3	2000	0,03	90	0,84	0,5	0,14	I4	30	0,028	0,025	I0
4	2000	0,03	90	I,47	2,5	0,14	I2	80	0,032	0,029	9
5	1800	0,033	90	2,07	I,0	0,2	I3	58	0,03	0,027	I0
6	1800	0,033	90	I,5	2,0	0,1	I2	52	0,04	0,032	20
7	1800	0,033	90	I,13	I,0	0,14	I0	39	0,029	0,028	3
8	1800	0,033	90	I,18	2,5	0,2	I8	110	0,044	0,041	7
9	1800	0,033	90	I,88	2,0	0,25	2I	I47	0,043	0,05	-I6
10	1800	0,033	90	I,5	2,0	0,14	I7	70	0,035	0,033	6

этом знаменатель передаточной функции (10), приводится к форме апериодического звена второго или первого порядка, а числи-<sup>8</sup>тели после преобразований приводятся также к виду типовых зве-<sup>†</sup>ньев. Из проведенных исследований выявлено, что динамические структуры моделей технологических систем при управлении упру-  
годеформированным состоянием деталей включают, наряду с инерци-  
сными звеньями, характерными для моделей управления по каналу подачи, также форсирующие звенья. Наличие форсирующих звеньев в передаточных функциях моделей снижает инерционность объекта при управлении по каналам дополнительных силовых воздействий.

#### 4.0 ЗАВЕР

Рассмотренное математическое описание объекта управления выполнено при пренебрежении "малыми" постоянными времени, характеризующими динамические свойства процесса резания и эквивалентной упругой системы. Такой подход представляется оправданным, так как в контур систем адаптивного управления, наряду с объектом, входят также автоматическое управляющее устройство и другие звенья с "большими" постоянными времени, динамические свойства которых являются определяющими для решений анализа устойчивости системы и синтеза корректирующих звеньев.

Результаты экспериментальных исследований динамических характеристик технологических систем во временной и частотной плоскостях свидетельствуют о том, что представленные математические модели с удовлетворительной для практики точностью описывают свойства объекта - оригинала. Величина ошибки в расчетном определении постоянных времени Табл. 1, 2 в основном не превышала 20%.

#### 5.0 ЛИТЕРАТУРА

- | 1 | Тараненко В.А, Абакумов А.М. Динамические модели для оценки точности технологических систем. -М.: ВНИИТЭМР.-1989, вып. 2. - 546.
- | 2 | Тараненко В.А. Технологические методы автоматизации и управление точностью формообразования нежестких упруго-деформированных деталей. Автореферат диссертаций на соискание учёной степени доктора технических наук. - Москва, 1991-29 с.